

Elektrische Eigenschaften**Electrical properties****Höchstzulässige Werte****Maximum rated values**

Periodische Vorwärts- und Rückwärts-Spitzenperrspannung	repetitive peak forward off-state and reverse voltages	$t_{vj} = -40^\circ\text{C} \dots t_{vj \max}$	V_{DRM}, V_{RRM}	800, 1000	V
Vorwärts-Stoßspitzenspannung	non repetitive peak forward off-state voltage	$t_{vj} = -40^\circ\text{C} \dots t_{vj \max}$	$V_{DSM} = V_{DRM}$	1100, 1200	V
Rückwärts-Stoßspitzenspannung	non repetitive peak reverse voltage	$t_{vj} = +25^\circ\text{C} \dots t_{vj \max}$	$V_{RSM} = V_{RRM}$	+ 100	V
Durchlaßstrom-Grenzeffektivwert Dauergrenzstrom	RMS on-state current average on-state current	$t_C = 85^\circ\text{C}$ $t_C = 50^\circ\text{C}$ $t_{vj} = 25^\circ\text{C}, t_p = 10 \text{ ms}$ $t_{vj} = t_{vj \max}, t_p = 10 \text{ ms}$ $t_{vj} = 25^\circ\text{C}, t_p = 10 \text{ ms}$ $t_{vj} = t_{vj \max}, t_p = 10 \text{ ms}$ $V_D \leq 67\% V_{DRM}, f_0 = 50 \text{ Hz}$ $i_{GM} = 0.6 \text{ A}, di_G/dt = 0.6 \text{ A}/\mu\text{s}$ $t_{vj} = t_{vj \max}, V_D = 67\% V_{DRM}$ 6. Kennbuchstabe/6th letter	I_{TRMSM} I_{TAVM} I_{TSM} $\int i^2 dt$ $(di/dt)_{cr}$	150 60 96 1450 1300 10500 8450 200	A A A A A ² s A ² s
Stoßstrom-Grenzwert	surge current	$t_{vj} = t_{vj \max}, t_p = 10 \text{ ms}$	$(dv/dt)_{cr}$	50 500 500 500 500	V/ μ s V/ μ s V/ μ s V/ μ s
Grenzlastintegral	$\int i^2 dt$ -value	$t_{vj} = t_{vj \max}, t_p = 10 \text{ ms}$		1) 2)	
Kritische Stromteilheit	critical rate of rise of on-state current	$t_{vj} = t_{vj \max}, t_p = 10 \text{ ms}$			
Kritische Spannungsteilheit	critical rate of rise of off-state voltage	$t_{vj} = t_{vj \max}, t_p = 10 \text{ ms}$			

Charakteristische Werte**Characteristic values**

Durchlaßspannung	on-state voltage	$t_{vj} = t_{vj \max}, I_T = 300 \text{ A}$	V_T	max.	2,7	V
Schleusenspannung	threshold voltage	$t_{vj} = t_{vj \max}$	$V_{T(TO)}$		1,3	V
Ersatzwiderstand	slope resistance	$t_{vj} = t_{vj \max}$	r_T		4	m Ω
Zündstrom	gate trigger current	$t_{vj} = 25^\circ\text{C}, V_D = 6 \text{ V}$	I_{GT}	max.	150	mA
Zündspannung	gate trigger voltage	$t_{vj} = 25^\circ\text{C}, V_D = 6 \text{ V}$	V_{GT}	max.	2	V
Nicht zündender Steuerstrom	gate non trigger current	$t_{vj} = t_{vj \max}, V_D = 6 \text{ V}$	I_{GD}	max.	10	mA
Nicht zündende Steuerspannung	gate non trigger voltage	$t_{vj} = t_{vj \max}, V_D = 0,5 V_{DRM}$	V_{GD}	max.	0,25	V
Haltestrom	holding current	$t_{vj} = 25^\circ\text{C}, V_D = 6 \text{ V}, R_A = 10 \Omega$	I_H	max.	250	mA
Einraststrom	latching current	$t_{vj} = 25^\circ\text{C}, V_D = 6 \text{ V}, R_{SK} \geq 20 \Omega$	I_L	max.	1	A
Vorwärts- und Rückwärts-Sperrstrom	forward off-state and reverse currents	$i_{GM} = 0.6 \text{ A}, di_G/dt = 0.6 \text{ A}/\mu\text{s}, t_g = 10 \mu\text{s}$ $t_{vj} = t_{vj \max}, V_D = V_{DRM}, V_R = V_{RRM}$	i_D, i_R	max.	25	mA
Zündverzug	gate controlled delay time	$t_{vj} = 25^\circ\text{C}, i_{GM} = 0.6 \text{ A}, di_G/dt = 0.6 \text{ A}/\mu\text{s}$	t_{gd}	max.	1,4	μ s
Freiwerdezeit	circuit commutated turn-off time	siehe Techn. Erl./see Techn. Inf.	t_q	C:	12	μ s ³)
				D:	15	μ s ³)
				E:	20	μ s
				F:	25	μ s
Isolations-Prüfspannung	insulation test voltage	RMS, f = 50 Hz, t = 1 min	V_{ISOL}		3	kV

Thermische Eigenschaften**Thermal properties**

Innerer Wärmewiderstand	thermal resistance, junction to case	$\Theta = 180^\circ\text{el}, \sinus:$ pro Modul/per module DC: pro Zweig/per arm pro Modul/per module pro Zweig/per arm	R_{thJC}	max.	0,175°C/W
Übergangs-Wärmewiderstand	thermal resistance, case to heatsink	pro Modul/per module pro Zweig/per arm	R_{thCK}	max.	0,04 °C/W
Höchstzul. Sperrsichttemperatur Betriebstemperatur Lagertemperatur	max. junction temperature operating temperature storage temperature	$t_{vj \max}$ $t_{c op}$ t_{stg}			0,35 °C/W 0,166°C/W 0,332°C/W 0,04 °C/W 0,08 °C/W 125°C - 40°C ... +125°C - 40°C ... +130°C

Mechanische Eigenschaften**Mechanical properties**

Si-Elemente mit Druckkontakt Innere Isolation Anzugsdrehmomente mechanische Befestigung elektrische Anschlüsse Gewicht Kriechstrecke Schwingfestigkeit Maßbild	Si-pellets pressure contact internal insulation tightening torques mounting torque terminal connection torque weight creepage distance vibration resistance outline	Toleranz/tolerance $\pm 15\%$ Toleranz/tolerance + 5%/-10%	$M1$ $M2$ G	AIN 4 Nm 4 Nm typ. 250 g 15 mm $5 \cdot 9,81 \text{ m/s}^2$ 5
--	---	---	---------------------	---

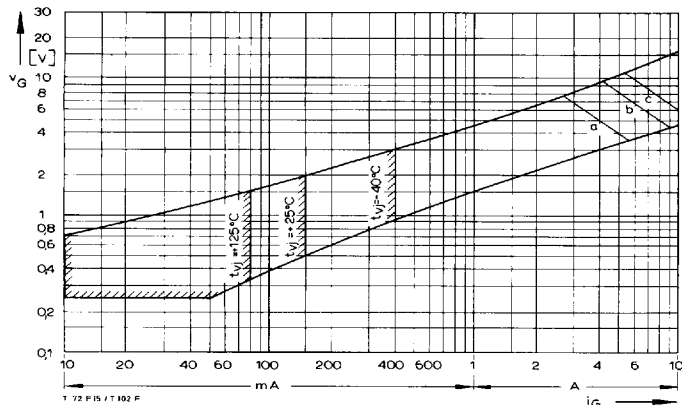
1) Werte nach DIN 41787 (ohne vorausgehende Kommutierung)/Values to DIN 41787 (without prior commutation)

2) Unmittelbar nach der Freiwerdezeit/Immediately after turn-off time

3) nur/only $\leq 1000 \text{ V}$ Daten der Dioden siehe unter DD 64 S bei $V_{RRM} \leq 1000 \text{ V}$ und DD 63 S bei $V_{RRM} \geq 1000 \text{ V}$ For data of the diode refer to DD 64 S at $V_{RRM} \leq 1000 \text{ V}$ and DD 63 S at $V_{RRM} \geq 1000 \text{ V}$

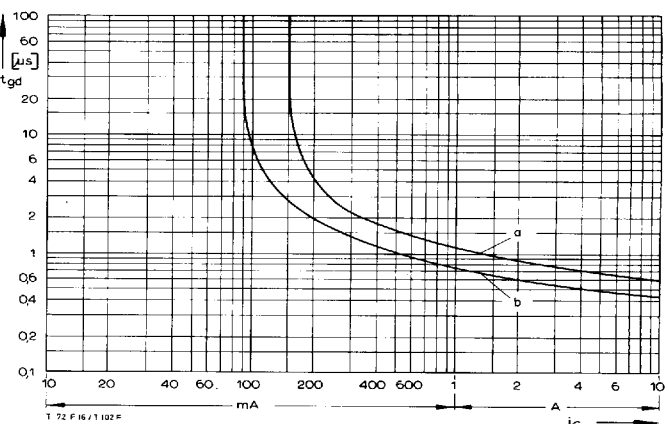
Recognized by UNDERWRITERS LABORATORIES INC.

TT 60 F, TD 60 F, DT 60 F

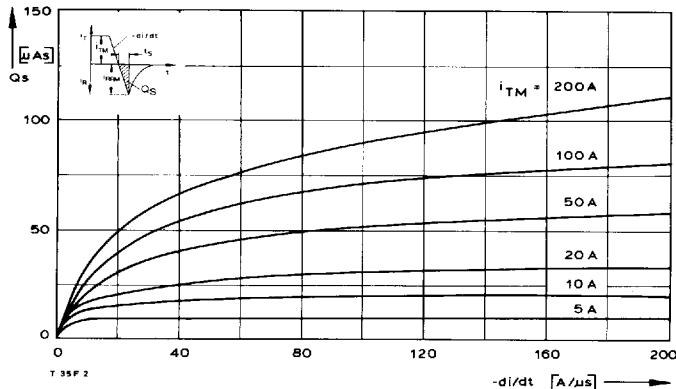


Bild/Fig. 1
Zündbereich und Spitzesteuerleistung bei $V_D = 6 \text{ V}$.
Gate characteristic and peak gate power dissipation at $V_D = 6 \text{ V}$.
Parameter:

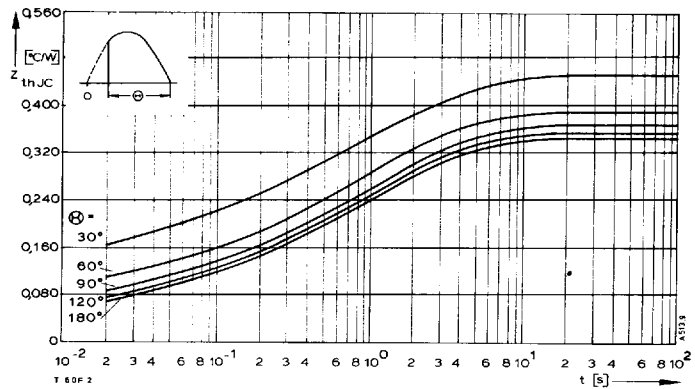
Steuerimpulsdauer/Pulse duration t_g [ms]	a	b	c
Höchstzulässige Spitzesteuerleistung/ Maximum allowable peak gate power [W]	20	40	60



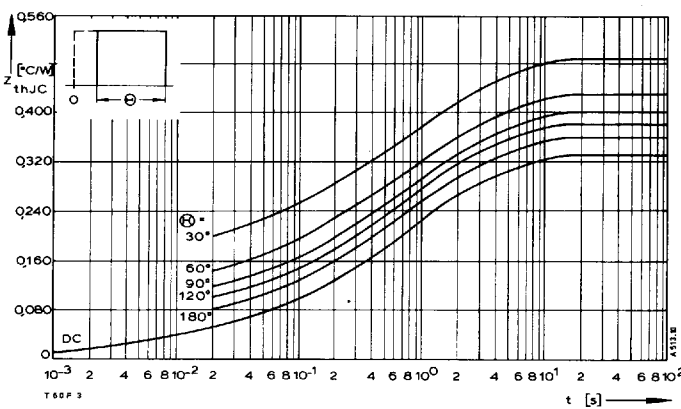
Bild/Fig. 2
Zündverzug/Gate controlled delay time t_{gd} ,
DIN 41787, $t_s = 1 \mu\text{s}$, $t_{vj} = 25^\circ\text{C}$.
a – äußerster Verlauf/limiting characteristic
b – typischer Verlauf/typical characteristic



Bild/Fig. 3
Typische Abhängigkeit der oberen Nachlaufladung Q_s von der abkommierenden Stromsteilheit $-di/dt$ bei $t_{vj} \max$.
Typical relationship between the maximum lag charge Q_s and the rate of decay of on-state current $-di/dt$ at $t_{vj} \max$.



Bild/Fig. 4
Transienter innerer Wärmewiderstand je Zweig Z_{thJC} .
Transient thermal impedance per arm Z_{thJC} , junction to case.



Bild/Fig. 5
Transienter innerer Wärmewiderstand je Zweig Z_{thJC} .
Transient thermal impedance, junction to case, per arm Z_{thJC} .

Pos. n	1	2	3	4	5
$R_{thn} [\text{K}/\text{W}]$	0,0127	0,03	0,049	0,1318	0,1085
$\tau_n [\text{s}]$	0,001	0,0092	0,074	0,57	3,51

$$Z_{thJC} = \sum_{n=1}^{n_{\max}} R_{thn} (1 - e^{-t/\tau_n})$$

Transienter Wärmewiderstand Z_{thJC} pro Zweig für DC.
Transient thermal impedance Z_{thJC} per arm for DC.